

## CuO-TiO<sub>2</sub>-ZrO<sub>2</sub>/HZSM-5 催化 CO<sub>2</sub>加氢制二甲醚

王嵩 毛东森\* 郭晓明 卢冠忠

(上海应用技术学院化学与环境工程学院, 应用催化研究所, 上海 200235)

**摘要:** 采用共沉淀法制备了一系列 CuO 含量不同(质量分数: 50%–80%)的 CuO-TiO<sub>2</sub>-ZrO<sub>2</sub> 复合氧化物, 并利用 X 射线衍射(XRD)、氮吸附(BET)、程序升温还原(H<sub>2</sub>-TPR)、程序升温脱附(H<sub>2</sub>/CO<sub>2</sub>-TPD)和氧化亚氮(N<sub>2</sub>O)反应吸附等多种方法对其进行表征。以所制备的 CuO-TiO<sub>2</sub>-ZrO<sub>2</sub> 为甲醇合成活性组分与 HZSM-5 分子筛进行机械混合制成双功能催化剂 CuO-TiO<sub>2</sub>-ZrO<sub>2</sub>/HZSM-5, 在微型固定床流动反应器中, 于 250 °C、3.0 MPa、H<sub>2</sub>/CO<sub>2</sub> (体积比 2.8) 以及空速 1500 mL·g<sup>-1</sup>·h<sup>-1</sup> 的条件下, 对其催化 CO<sub>2</sub> 加氢直接合成二甲醚(DME) 的性能进行了评价。结果表明: 随着 CuO-TiO<sub>2</sub>-ZrO<sub>2</sub> 中 CuO 含量的增加, CO<sub>2</sub> 的转化率先逐渐增大, 至 70% 时达到最大, 之后反而降低。DME 的选择性随着催化剂中 CuO 含量的增加而增加, 至 ≥70% 时基本不变, 故当 CuO 含量为 70% 时, DME 的收率达到最大值(13.2%)。催化剂上合成含氧化合物(甲醇和 DME)的活性与催化剂中金属铜的比表面积之间有较好的对应关系。

**关键词:** CO<sub>2</sub>加氢; 二甲醚; CuO-TiO<sub>2</sub>-ZrO<sub>2</sub>复合氧化物; HZSM-5分子筛; 双功能催化剂

中图分类号: O643

## Dimethyl Ether Synthesis from CO<sub>2</sub> Hydrogenation over CuO-TiO<sub>2</sub>-ZrO<sub>2</sub>/HZSM-5 Catalysts

WANG Song MAO Dong-Sen\* GUO Xiao-Ming LU Guan-Zhong

(Research Institute of Applied Catalysis, School of Chemical and Environmental Engineering, Shanghai Institute of Technology, Shanghai 200235, P. R. China)

**Abstract:** A series of CuO-TiO<sub>2</sub>-ZrO<sub>2</sub> mixed oxides with different CuO mass fractions (50%–80%) were prepared by co-precipitation and characterized by X-ray diffraction (XRD), N<sub>2</sub> physisorption, temperature-programmed reduction of hydrogen (H<sub>2</sub>-TPR), temperature-programmed desorption of carbon dioxide (CO<sub>2</sub>-TPD) and hydrogen (H<sub>2</sub>-TPD), and reactive N<sub>2</sub>O adsorption techniques. The prepared CuO-TiO<sub>2</sub>-ZrO<sub>2</sub> samples were mixed physically with HZSM-5 zeolite to synthesize dimethyl ether (DME) from CO<sub>2</sub> hydrogenation in a fixed bed reactor at 250 °C, 3.0 MPa, gas hourly space velocity (GHSV) of 1500 mL·g<sup>-1</sup>·h<sup>-1</sup>, and volume ratio of 2.8 for H<sub>2</sub> to CO<sub>2</sub>. We found that the conversion of CO<sub>2</sub> increased with an increase in CuO content, reached a maximum at a CuO content of 70% and then decreased. The selectivity of DME increased with an increase in CuO content initially and remained essentially constant when the CuO content was ≥70%. Thus, the yield of DME reached a maximum of 13.2% at 70% CuO content. The productivity of the oxygenated compounds (including methanol and DME) on the CuO-TiO<sub>2</sub>-ZrO<sub>2</sub>/HZSM-5 catalysts is closely related to the metallic copper surface area.

**Key Words:** Hydrogenation of CO<sub>2</sub>; Dimethyl ether; CuO-TiO<sub>2</sub>-ZrO<sub>2</sub> mixed oxide; Zeolite HZSM-5; Bifunctional catalyst

Received: May 9, 2011; Revised: July 18, 2011; Published on Web: August 19, 2011.

\*Corresponding author. Email: dsmao@sit.edu.cn; Tel: +86-21-64941386.

The project was supported by the Science and Technology Commission of Shanghai Municipality, China (08520513600), Leading Academic Discipline Project of Shanghai Education Committee, China (J51503) and Shanghai Special Fund for Outstanding Young Teachers, China (yyy10078).

上海市科委(08520513600), 上海市教委重点学科(J51503)和上海市优秀青年教师专项基金(yyy10078)资助项目

© Editorial office of Acta Physico-Chimica Sinica

## 1 引言

众所周知, 二氧化碳( $\text{CO}_2$ )是一种主要的温室效应气体。近年来, 随着大气中  $\text{CO}_2$  浓度的逐渐增加, 全球气候变暖问题已经变得越来越严重。因此, 如何有效地利用  $\text{CO}_2$  正引起全世界广泛的关注。 $\text{CO}_2$  催化加氢直接合成二甲醚(DME)既可以利用廉价的  $\text{CO}_2$  制得有用的化学品和燃料, 又可以解决  $\text{CO}_2$  的环境污染问题, 对于保证经济的高速发展和实现长期可持续发展战略均具有重要的意义。<sup>1,2</sup>

高性能催化剂的研制是  $\text{CO}_2$  加氢直接制 DME 技术开发的关键, 其所采用的催化剂为由甲醇合成活性组分与甲醇脱水活性组分组合而成的双功能催化剂。目前, 大多数文献所报道的双功能催化剂中的甲醇合成活性组分基本都是  $\text{CuO-ZnO-Al}_2\text{O}_3$  复合氧化物。<sup>3-5</sup> 虽然  $\text{CuO-ZnO-Al}_2\text{O}_3$  复合氧化物对一氧化碳(CO)加氢制甲醇的活性很高, 但由于其中的 ZnO 和  $\text{Al}_2\text{O}_3$  的亲水性而对  $\text{CO}_2$  加氢的活性却不是十分理想。<sup>6,7</sup> 大量文献<sup>8-13</sup> 报道, 以  $\text{ZrO}_2$  为载体的 Cu 基催化剂对  $\text{CO}_2$  加氢制甲醇具有良好的催化活性, 故以  $\text{CuO/ZrO}_2$  基复合氧化物为甲醇合成活性组分的双功能催化剂在  $\text{CO}_2$  加氢制 DME 反应中的应用逐渐增多。<sup>14-17</sup> 但是,  $\text{ZrO}_2$  作为载体存在比表面积较小、晶型不稳定等缺点, 如果采用  $\text{TiO}_2-\text{ZrO}_2$  复合氧化物作为载体, 则可以克服上述缺点, 从而显著改善催化剂的性能。<sup>18,19</sup> 最近, 我们以  $\text{CuO-TiO}_2-\text{ZrO}_2$  为甲醇合成活性组分制备的  $\text{CuO-TiO}_2-\text{ZrO}_2/\text{HZSM-5}$  双功能催化剂, 其催化  $\text{CO}_2$  加氢制 DME 的反应性能明显优于以  $\text{CuO-ZrO}_2$  为甲醇合成活性组分的双功能催化剂。<sup>20</sup>

对于  $\text{CO}_2$  加氢制甲醇的 Cu 基催化剂, 其 Cu 含量是影响催化剂性能的最重要因素之一。<sup>21,22</sup> 当 Cu 含量较低时, 催化剂加氢反应的活性中心过少, 其催化性能较低; 相反, 如果 Cu 含量过高, Cu 分布过于密集, 在焙烧和还原过程中容易烧结、长大, Cu 的利用率降低, 从而使催化剂的活性反而下降, 因此, 存在一最佳的 Cu 含量。为进一步提高  $\text{CuO-TiO}_2-\text{ZrO}_2/\text{HZSM-5}$  对  $\text{CO}_2$  加氢直接合成 DME 反应的催化性能, 本文采用共沉淀法制备了一系列不同 CuO 含量(质量分数: 50%–80%)的  $\text{CuO-TiO}_2-\text{ZrO}_2$  复合氧化物, 并以其为甲醇合成活性组分与 HZSM-5 分子筛进行机械混合制成双功能催化剂  $\text{CuO-TiO}_2-\text{ZrO}_2/\text{HZSM-5}$ , 考察 CuO 含量对  $\text{CuO-TiO}_2-\text{ZrO}_2/\text{HZSM-5}$  催化  $\text{CO}_2$  加氢直接合成 DME 反应性

能的影响, 并对影响催化剂性能的因素进行了较为详细的讨论, 以期对  $\text{CO}_2$  加氢直接制 DME 高效双功能催化剂的研究有所帮助。

## 2 实验部分

### 2.1 催化剂的制备

将浓度均为  $0.5 \text{ mol} \cdot \text{L}^{-1}$  的  $\text{Cu}(\text{NO}_3)_2$  水溶液、 $\text{ZrOCl}_2$  水溶液和  $\text{TiCl}_4$  乙醇溶液按一定的比例混合, 在强烈搅拌下, 将上述混合溶液与浓度为  $1 \text{ mol} \cdot \text{L}^{-1}$  的  $\text{Na}_2\text{CO}_3$  水溶液同时滴加到盛有少量蒸馏水的烧杯中, 通过调节两种溶液的滴加速度来控制沉淀液的 pH 值, 恒定为 7。所得到的沉淀经室温陈化、洗涤和过滤后, 于  $110^\circ\text{C}$  干燥过夜, 然后在马弗炉中于  $500^\circ\text{C}$  焙烧 6 h 得到  $\text{CuO-TiO}_2-\text{ZrO}_2$ 。其中 Ti/Zr 的摩尔比固定为 1, CuO 含量(质量百分数)分别为 50%, 60%, 70% 和 80%, 并以 CTZ-x 表示, 其中 x 代表 CuO 的含量。上述样品经压片、粉碎后筛选为 40–60 目的颗粒。以上所用试剂均为分析纯, 由国药集团化学试剂有限公司生产。

以上述所制备的  $\text{CuO-TiO}_2-\text{ZrO}_2$  为甲醇合成活性组分, 与南开大学催化剂厂生产的 Si/Al 为 38 的 HZSM-5 分子筛(破碎至粒度大小为 40–60 目)按照一定的质量比例进行机械混合, 得到双功能催化剂  $\text{CuO-TiO}_2-\text{ZrO}_2/\text{HZSM-5}$ 。

### 2.2 催化剂反应性能的测试

采用加压连续流动固定床不锈钢反应器来评价催化剂的反应性能。<sup>20</sup> 催化剂用量为 1 g, 两端填充相同粒度的石英砂。反应前, 催化剂用还原气( $10\% \text{H}_2-90\%\text{N}_2$ , 体积比, 下同)于  $250^\circ\text{C}$  还原 200 min(升温速率为  $2^\circ\text{C} \cdot \text{min}^{-1}$ , 气体流速为  $25 \text{ mL} \cdot \text{min}^{-1}$ )。然后将温度降低至  $200^\circ\text{C}$ , 切换至反应原料气( $64.5\% \text{H}_2-12.2\%\text{N}_2-23.3\%\text{CO}_2$ ), 调节原料气流速为  $25 \text{ mL} \cdot \text{min}^{-1}$ , 使压力表的示数为 3.0 MPa。同时, 升高温度至  $250^\circ\text{C}$  进行反应。待反应稳定 4 h 后, 将反应产物通入气相色谱仪(Agilent 6820, 上海安捷伦科技有限公司)进行在线分析。反应器出口至色谱仪进样口的所有连接管路均用加热带保温至  $150^\circ\text{C}$  以避免反应产物的冷凝。

反应产物中主要含有  $\text{CO}_2$ 、 $\text{N}_2$ 、 $\text{CO}$ 、 $\text{CH}_3\text{OH}$ 、 $\text{DME}$ 、 $\text{H}_2\text{O}$  和  $\text{CH}_4$ , 无机气体采用碳分子筛填充柱分离, 热导池检测器(TCD)检测, 有机气体采用 Porapak Q 毛细管柱分离, 氢火焰离子化检测器(FID)检测。根据所测得的反应尾气中各组分的含

量, 以碳原子的摩尔数计算CO<sub>2</sub>的转化率以及CO、DME、CH<sub>3</sub>OH和CH<sub>4</sub>的选择性.

### 2.3 催化剂的表征

由美国 Micromeritics 公司生产的 ASAP 2020 M+C 型全自动比表面积和孔隙度测定仪测量 CuO-TiO<sub>2</sub>-ZrO<sub>2</sub> 的比表面积. N<sub>2</sub> 为吸附质, 液氮温度下吸附, N<sub>2</sub> 作载气. 样品测试前于 200 °C、6.7 Pa 残压下抽真空 4 h 以脱除样品表面所吸附的杂质. 用 BET 方程计算样品的比表面积( $S_{BET}$ ).

用德国 Bruker 公司生产的 D8 Focus 型 X 射线衍射仪进行 CuO-TiO<sub>2</sub>-ZrO<sub>2</sub> 的晶相结构分析. 采用 Cu K<sub>α</sub> 射线, 工作电压和电流分别为 40 kV 和 40 mA, 扫描速率为 3 (°)·min<sup>-1</sup>.

采用荷兰 PANalytical 公司生产的 X' Pert 型 X 射线衍射仪进行 CuO-TiO<sub>2</sub>-ZrO<sub>2</sub> 的原位 XRD 分析. 将样品在奥地利 Antor Paar 公司生产的 HTK1200N 高温炉腔内用 10%H<sub>2</sub>/N<sub>2</sub> 的还原气(流速为 50 mL·min<sup>-1</sup>)于 300 °C 下原位还原 30 min, 然后采用 Cu K<sub>α</sub> 射线, 工作电压和电流分别为 40 kV 和 40 mA, 扫描速率为 6 (°)·min<sup>-1</sup>, 扫描得到还原后样品的 XRD 图.

采用程序升温还原(H<sub>2</sub>-TPR)分析 CuO-TiO<sub>2</sub>-ZrO<sub>2</sub> 的可还原性: 称量 0.05 g 样品装入石英玻璃管反应器中, 用高纯氮气在 500 °C 下吹扫 1 h, 然后冷却到 50 °C. 用 10%H<sub>2</sub>/N<sub>2</sub> 的还原气(流速为 25 mL·min<sup>-1</sup>)吹扫 30 min 后, 以 10 °C·min<sup>-1</sup> 的升温速率进行程序升温还原, 采用 TCD 测定还原过程中的耗氢量.

H<sub>2</sub>程序升温脱附(H<sub>2</sub>-TPD)分析: 称量 0.1 g 的 CuO-TiO<sub>2</sub>-ZrO<sub>2</sub> 装入石英玻璃管反应器中, 在 250 °C 下还原 1 h, 还原气(10%H<sub>2</sub>-90%N<sub>2</sub>)的流率为 50 mL·min<sup>-1</sup>. 还原过程结束后切换至高纯氮气吹扫 1 h, 再冷却到 50 °C, 并保持恒定. 然后将气路切换至还原气, 在 50 mL·min<sup>-1</sup> 的流速下吸附 30 min 后, 以 10 °C·min<sup>-1</sup> 的速率进行程序升温脱附, 所脱附的 H<sub>2</sub> 采用 TCD 测定.

表 1 CuO 含量对 CuO-TiO<sub>2</sub>-ZrO<sub>2</sub>/HZSM-5 催化剂反应性能的影响

Table 1 Effect of CuO contents on performance of CuO-TiO<sub>2</sub>-ZrO<sub>2</sub>/HZSM-5 catalysts

<sup>*</sup> w <sub>CuO</sub> /%	Conversion of CO <sub>2</sub> /%	Selectivity of products/%			Yield of DME/%
		DME	CH <sub>3</sub> OH	CO	
50	15.7	56.3	13.9	29.4	8.84
60	18.4	56.8	14.1	28.7	10.4
70	21.0	62.9	14.1	23.0	13.2
80	15.8	63.2	13.7	22.7	9.99

\*contents of CuO in the CuO-TiO<sub>2</sub>-ZrO<sub>2</sub>. T=250 °C, p=3.0 MPa, GHSV=1500 mL·g<sup>-1</sup>·h<sup>-1</sup>, n(H<sub>2</sub>)/n(CO<sub>2</sub>)=2.8, m<sub>(CuO-TiO<sub>2</sub>-ZrO<sub>2</sub>)</sub>:m<sub>(HZSM-5)</sub>=2:1.

DME: dimethyl ether

CO<sub>2</sub>程序升温脱附(CO<sub>2</sub>-TPD)分析: 称量 0.1 g 样品装入石英玻璃管反应器中, 在 250 °C 下还原 1 h, 还原气(10%H<sub>2</sub>-90%N<sub>2</sub>)的流率为 50 mL·min<sup>-1</sup>. 还原过程结束后切换至高纯氮气吹扫 1 h, 再冷却到 100 °C, 并保持恒定. 然后将气路切换至 CO<sub>2</sub> 气, 在 20 mL·min<sup>-1</sup> 的流速下吸附 30 min 后, 以 10 °C·min<sup>-1</sup> 的速率进行程序升温脱附, 采用德国 Pfeiffer 公司生产的 Vacuum Quadstar, 32-bit 型质谱仪测定所脱附的 CO<sub>2</sub>.

CuO-TiO<sub>2</sub>-ZrO<sub>2</sub> 中金属铜的表面积是通过 N<sub>2</sub>O 反应法测定的. 称量 0.2 g 样品装于石英玻璃管反应器中, 用 10%H<sub>2</sub>/He 混合气于 250 °C 的条件下还原 1 h, 然后用 He 吹扫, 并将反应器的温度冷却到 60 °C. 将 1%N<sub>2</sub>O-He 通入石英管内, 表面金属铜将 N<sub>2</sub>O 还原成 N<sub>2</sub>, 并用质谱仪(德国 Pfeiffer 公司, Vacuum Quadstar, 32-bit)检测气体的变化. 金属铜的表面积的计算方法是基于每平方米有  $1.46 \times 10^{19}$  个铜原子, N<sub>2</sub>O 和 Cu 的化学计量比是 0.5.<sup>13</sup>

## 3 结果与讨论

### 3.1 催化剂的反应性能

CO<sub>2</sub> 在以不同 CuO 含量的 CuO-TiO<sub>2</sub>-ZrO<sub>2</sub> 与 HZSM-5 分子筛组成的双功能催化剂(质量比为 2:1)上加氢反应的性能测试结果列于表 1. 由此可见, CuO 含量对双功能催化剂的性能影响较大. 随着 CuO-TiO<sub>2</sub>-ZrO<sub>2</sub> 中 CuO 含量的不断增加, CO<sub>2</sub> 的转化率逐渐增大, 当 CuO 含量为 70% 时, CO<sub>2</sub> 的转化率达到最大值, 较 CuO 含量为 50% 时提高了 30% 以上. 继续增大 CuO 含量至 80%, CO<sub>2</sub> 的转化率反而减小. 目的产物 DME 的选择性随着 CuO 含量的增加而不断增加, 当 CuO 含量增加到 ≥70% 时, DME 的选择性趋于稳定. 副产物 CO 的选择性随 CuO 含量的变化情况正好与 DME 相反, 即随着 CuO 含量的增加而不断减少, 当 CuO 含量增加至 ≥70% 时, CO 的选择性也趋于稳定. 此外, 所有催化剂的甲醇选择性均

表2  $\text{CO}_2$ 在不同催化剂上加氢反应的性能  
Table 2 Performance of  $\text{CO}_2$  hydrogenation on different catalysts

$W_{\text{CTZ-70}}:W_{\text{HZSM-5}}$	Conversion of $\text{CO}_2$ /%	Selectivity of products/%			Yield of $\text{DME}+\text{CH}_3\text{OH}$ /%
		DME	$\text{CH}_3\text{OH}$	CO	
1:0	14.9	—	63.9	35.4	9.52
1:1	16.8	48.3	11.3	32.8	10.0
2:1	21.0	62.9	14.1	23.0	16.2
3:1	17.6	51.8	12.5	30.3	11.3

\*CTZ-70:  $\text{CuO}-\text{TiO}_2-\text{ZrO}_2$  with 70% (w)  $\text{CuO}$ ; reaction conditions:  $T=250^\circ\text{C}$ ,  $p=3.0 \text{ MPa}$ , GHSV=1500  $\text{mL}\cdot\text{g}^{-1}\cdot\text{h}^{-1}$ ,  $n(\text{H}_2)/n(\text{CO}_2)=2.8$

基本相同(13.7%–14.1%)。

由表1的数据可以得出,  $\text{CuO}-\text{TiO}_2-\text{ZrO}_2/\text{HZSM-5}$  催化剂的DME收率大小按  $\text{CuO}-\text{TiO}_2-\text{ZrO}_2$  中  $\text{CuO}$  含量的顺序排列为: 70%  $\text{CuO} > 60\% \text{CuO} > 80\% \text{CuO} > 50\% \text{CuO}$ . 即在所有的催化剂中, 以  $\text{CuO}$  含量为 70% 的  $\text{CuO}-\text{TiO}_2-\text{ZrO}_2$  为甲醇合成活性组分制备的  $\text{CuO}-\text{TiO}_2-\text{ZrO}_2/\text{HZSM-5}$  双功能催化剂具有最高的DME合成活性。

CTZ-70 及不同 CTZ-70 与 HZSM-5 质量比的双功能催化剂用于  $\text{CO}_2$  加氢反应的活性测试结果列于表2. 由此可见, 仅以 CTZ-70 为催化剂时, 产物主要为甲醇和 CO, DME 的选择性几乎为零(低于 FID 的检测限). 在 CTZ-70 中加入 HZSM-5 分子筛后, 甲醇的含量显著降低, 产物主要为 DME 和 CO, 表明在 HZSM-5 分子筛的作用下, 甲醇有效地转化成了 DME. 与 CTZ-70 催化剂相比, 双功能催化剂上的  $\text{CO}_2$  转化率明显提高, 而且 CO 的选择性降低. 这说明在双功能催化剂的作用下, 不仅打破了  $\text{CO}_2$  加氢合成甲醇反应的热力学平衡限制, 获得较高的  $\text{CO}_2$  转化率; 而且, 与二甲醚同时生成的水又可抑制逆水煤气变换反应的进行, 从而减少副产物 CO 的生成.<sup>23,24</sup> 此外, 当 CTZ-70 和 HZSM-5 的比例不同时, 双功能催化剂的性能也不同. 当  $m_{\text{CTZ-70}}:m_{\text{HZSM-5}}=2:1$  时,  $\text{CO}_2$  的转化率和 DME 的选择性都达到最大, 而副产物 CO 的选择性最小, 从而使 DME 的收率达到最佳. 这与李增喜等<sup>25</sup>的结果相一致.

### 3.2 样品的表征

#### 3.2.1 晶相结构的测定

纯  $\text{CuO}$  及不同  $\text{CuO}$  含量的  $\text{CuO}-\text{TiO}_2-\text{ZrO}_2$  样品经 500 °C 焙烧后的 XRD 谱见图1. 由此可见, 纯  $\text{CuO}$  在  $2\theta=32.4^\circ, 35.5^\circ, 38.7^\circ, 48.6^\circ, 53.5^\circ, 58.2^\circ$  处存在晶相  $\text{CuO}$  的特征衍射峰.<sup>26</sup> 所有的  $\text{CuO}-\text{TiO}_2-\text{ZrO}_2$  样品在  $2\theta=35.5^\circ$  和  $38.7^\circ$  处都出现了晶相  $\text{CuO}$  的特征衍射峰, 当  $\text{CuO}$  含量  $\geq 70\%$  时, 在  $2\theta=48.6^\circ$  处也出现了晶相  $\text{CuO}$  的特征衍射峰. 此外, 随着  $\text{CuO}$

含量的增加, 上述衍射峰的强度均不断增强, 峰形逐渐变窄. 上述结果表明, 随着  $\text{CuO}$  含量的增加,  $\text{CuO}-\text{TiO}_2-\text{ZrO}_2$  中  $\text{CuO}$  的晶化趋于完整,  $\text{CuO}$  的晶粒逐渐增大.

由图1还可以看出, 所有样品均没有出现明显的  $\text{ZrO}_2$  和  $\text{TiO}_2$  物相的特征衍射峰, 表明所制得  $\text{CuO}-\text{TiO}_2-\text{ZrO}_2$  样品中的  $\text{ZrO}_2$  和  $\text{TiO}_2$  均处于无定形或晶型很差的状态.<sup>27</sup> 此外, 图中也没有出现其他物相的衍射峰, 表明  $\text{CuO}$  和  $\text{TiO}_2-\text{ZrO}_2$  之间并没有生成复合氧化物. 上述结果与 Chary 等<sup>27</sup> 和 丁光辉等<sup>28</sup> 采用浸渍法制备的  $\text{CuO}/\text{TiO}_2-\text{ZrO}_2$  的结果相一致.

不同  $\text{CuO}$  含量的  $\text{CuO}-\text{TiO}_2-\text{ZrO}_2$  样品的原位 XRD 谱见图2. 由此可见, 样品经 300 °C 还原后, 在  $2\theta\approx 43.3^\circ, 50.5^\circ$  出现了  $\text{Cu}(111)$  和  $(200)$  晶面的特征衍射峰,<sup>29</sup> 而  $\text{CuO}$  的衍射峰完全消失, 表明  $\text{CuO}$  已被全部还原成金属  $\text{Cu}$ . 此外, 随着  $\text{CuO}-\text{TiO}_2-\text{ZrO}_2$  中  $\text{CuO}$  含量的增加, 还原后  $\text{Cu}$  衍射峰的强度增强, 峰形变窄, 这说明  $\text{CuO}-\text{TiO}_2-\text{ZrO}_2$  样品经还原后,  $\text{Cu}$  的晶化程度及晶粒大小与  $\text{CuO}$  含量成单调递增关系. 采用 Scherrer 方程根据  $\text{Cu}(111)$  晶面衍射峰的半峰宽计算得到的  $\text{Cu}$  晶粒尺寸见表3. 可见,  $\text{Cu}$  晶粒尺寸随前驱体中  $\text{CuO}$  含量的增加而增大, 尤其当  $\text{CuO}$  含量从

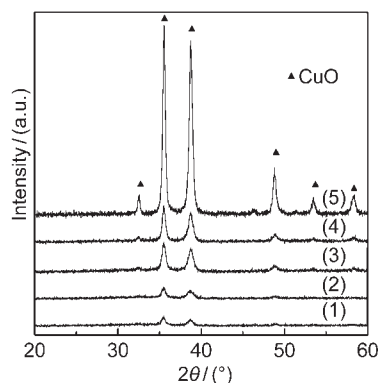
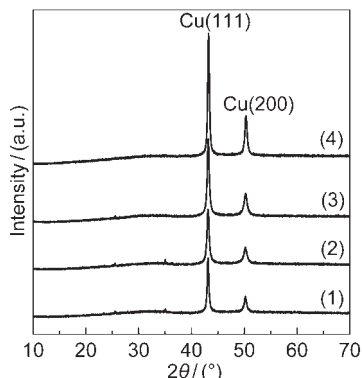


图1 不同  $\text{CuO}$  含量  $\text{CuO}-\text{TiO}_2-\text{ZrO}_2$  的 XRD 谱  
Fig.1 XRD patterns of  $\text{CuO}-\text{TiO}_2-\text{ZrO}_2$  samples with different contents of  $\text{CuO}$   
 $w_{\text{CuO}}/\%:$  (1) 50; (2) 60; (3) 70; (4) 80; (5) 100



**图2 不同CuO含量CuO-TiO<sub>2</sub>-ZrO<sub>2</sub>的原位XRD谱**  
**Fig.2 In-situ XRD patterns of CuO-TiO<sub>2</sub>-ZrO<sub>2</sub> samples with different contents of CuO**  
 $w_{\text{CuO}}/\%:$  (1) 50; (2) 60; (3) 70; (4) 80

70%增加至80%时,Cu晶粒尺寸的增大更为明显.

### 3.2.2 $S_{\text{BET}}$ 和 $S_{\text{Cu}}$ 的测定

不同CuO含量的CuO-TiO<sub>2</sub>-ZrO<sub>2</sub>样品的比表面积和经还原后金属铜的比表面积的测试结果列于表3.可以看出,随着CuO含量的升高,样品的BET比表面积逐渐降低.这是由于所添加的CuO覆盖在样品的表面或堵塞部分孔道所致.同时,随着CuO含量的增加,CuO颗粒容易聚集、长大,这也是导致样品比表面积降低的一个重要原因.

由表3可见,不同CuO-TiO<sub>2</sub>-ZrO<sub>2</sub>样品经还原后金属铜的比表面积随着CuO含量的升高先增大后减小,当CuO含量为70%时达到最大.CuO含量对CuO-TiO<sub>2</sub>-ZrO<sub>2</sub>样品中金属铜的比表面积的影响可起两方面的作用:一方面,CuO含量的增加势必导致还原后金属铜的含量也增加,这对金属铜比表面积的增大有利.另一方面,CuO含量的增加,使得CuO的分散度降低(前述的XRD测试结果已经证明了这点),样品表面呈高分散状态的CuO的含量减少,CuO的晶粒增大,从而使金属铜的比表面积减小.由此可见,当样品中CuO含量较低( $\leq 70\%$ )时,前一种作用占主导地位,故随着CuO含量的增加,金

**表3 不同CuO含量CuO-TiO<sub>2</sub>-ZrO<sub>2</sub>的物理化学性质**  
**Table 3 Physicochemical properties of CuO-TiO<sub>2</sub>-ZrO<sub>2</sub> samples with different contents of CuO**

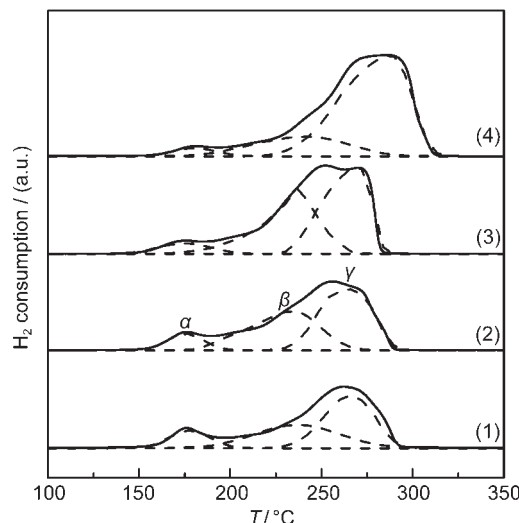
$w_{\text{CuO}}/\%$	$S_{\text{BET}}/(m^2 \cdot g^{-1})$	$S_{\text{Cu}}/(m^2 \cdot g^{-1})^a$	Cu crystallite size/nm <sup>b</sup>
50	89.9	2.75	16.8
60	70.4	6.66	17.9
70	53.7	7.94	18.5
80	39.7	4.16	21.5

<sup>a</sup> determined by N<sub>2</sub>O chemisorption method; <sup>b</sup> calculated by Scherrer formula

属铜的比表面积增大.而当CuO含量较高( $\geq 70\%$ )时,后一种作用占主导地位,故随着CuO含量的增加,样品中金属铜的比表面积反而降低.

### 3.2.3 还原性的表征

图3是不同CuO含量的CuO-TiO<sub>2</sub>-ZrO<sub>2</sub>样品的H<sub>2</sub>-TPR谱.由此可见,所有CuO-TiO<sub>2</sub>-ZrO<sub>2</sub>样品均在150至350 °C之间出现了两个明显的CuO的还原峰,而且高温还原峰明显不对称,也就是说这些样品都出现了三个还原峰( $\alpha$ 、 $\beta$ 和 $\gamma$ ),其分峰处理结果如图中所示.图中各还原峰的温度和峰面积的数据列于表4.由此可见,当CuO含量 $\leq 70\%$ 时,CuO-TiO<sub>2</sub>-ZrO<sub>2</sub>样品三个还原峰的 $T_{\text{max}}$ 值非常相近,但当CuO含量进一步增大至80%时则明显升高.此外,随着CuO-TiO<sub>2</sub>-ZrO<sub>2</sub>中CuO含量的增加, $\alpha$ 还原峰的面积不断减小; $\beta$ 还原峰的面积先随CuO含量的增加而增大,至CuO含量为70%时达到最大,之后反



**图3 不同CuO含量CuO-TiO<sub>2</sub>-ZrO<sub>2</sub>的H<sub>2</sub>-TPR谱**  
**Fig.3 H<sub>2</sub>-TPR profiles of CuO-TiO<sub>2</sub>-ZrO<sub>2</sub> samples with different contents of CuO**  
 $w_{\text{CuO}}/\%:$  (1) 50; (2) 60; (3) 70; (4) 80

**表4 不同CuO含量CuO-TiO<sub>2</sub>-ZrO<sub>2</sub>还原峰的温度( $T_{\text{max}}$ )和面积( $A$ )**

**Table 4 Temperatures ( $T_{\text{max}}$ ) and areas ( $A$ ) of reduction peaks of CuO-TiO<sub>2</sub>-ZrO<sub>2</sub> samples with different contents of CuO**

$w_{\text{CuO}}/\%$	$\alpha$ peak		$\beta$ peak		$\gamma$ peak	
	$T_{\text{max}}/^\circ\text{C}$	$A^*$	$T_{\text{max}}/^\circ\text{C}$	$A^*$	$T_{\text{max}}/^\circ\text{C}$	$A^*$
50	177	510	236	1377	266	1823
60	177	420	237	1881	267	2227
70	177	393	235	2360	268	2782
80	183	258	242	1475	284	4718

<sup>\*</sup>calculated by integral of peaks in H<sub>2</sub>-TPR profiles

而减小;  $\gamma$ 峰的面积则随CuO含量的增加而一直增大。另外,随着CuO含量的增加,样品还原峰的温度区间逐渐变大,这说明随着CuO含量的增加,CuO-TiO<sub>2</sub>-ZrO<sub>2</sub>中CuO的颗粒大小分布变宽、趋于不均匀。

一般认为,Cu基复合氧化物中CuO的存在方式有三种,即高分散的CuO、小颗粒的晶相CuO(XRD无法检测)和大颗粒的晶相CuO(XRD能够检测),而且,随着CuO颗粒的不断增大,其还原峰的温度逐渐升高。<sup>30-32</sup>据此并结合前述的XRD表征结果,我们认为本文CuO-TiO<sub>2</sub>-ZrO<sub>2</sub>样品中的 $\alpha$ 峰应归属于与TiO<sub>2</sub>-ZrO<sub>2</sub>相互作用较强、呈高度分散的表面CuO的还原, $\beta$ 峰应归属于样品中与TiO<sub>2</sub>-ZrO<sub>2</sub>相互作用较弱、颗粒较小的体相CuO的还原, $\gamma$ 峰应归属于样品中颗粒较大、相对孤立的体相CuO的还原。而且,随着CuO含量的不断增加,CuO-TiO<sub>2</sub>-ZrO<sub>2</sub>中呈高度分散的表面CuO量逐渐减少,而体相CuO的量逐渐增多,且其CuO的晶粒逐渐增大。该结果与前述的XRD测试结果相一致。丁光辉等<sup>28</sup>研究了采用浸渍法制备的不同CuO含量(6%~50%)(*w*)CuO/TiO<sub>2</sub>-ZrO<sub>2</sub>的还原性,发现当 $w_{\text{CuO}} \geq 18\%$ 时也存在3个还原峰,并将其分别归属为高度分散的CuO、与TiO<sub>2</sub>-ZrO<sub>2</sub>相互作用较强的孤立的CuO和晶相的CuO。

### 3.2.4 程序升温脱附表征

不同CuO含量的CuO-TiO<sub>2</sub>-ZrO<sub>2</sub>样品经还原后的CO<sub>2</sub>-TPD测定结果见图4。由此可见,所有样品均在100~500℃之间出现了两个CO<sub>2</sub>脱附峰( $\alpha$ 和 $\beta$ ),分别对应着弱吸附中心和强吸附中心。4个样品的 $\alpha$ 峰出现的温度几乎相同,约为175℃;而 $\beta$ 峰的温度

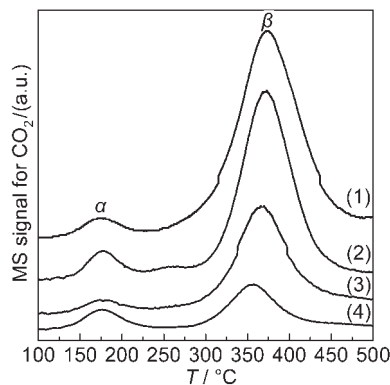


图4 不同CuO含量CuO-TiO<sub>2</sub>-ZrO<sub>2</sub>的CO<sub>2</sub>-TPD谱  
Fig.4 CO<sub>2</sub>-TPD profiles of the CuO-TiO<sub>2</sub>-ZrO<sub>2</sub> samples with different contents of CuO  
 $w_{\text{CuO}}/\%:$  (1) 50; (2) 60; (3) 70; (4) 80

随着CuO含量的增加而逐渐向低温方向移动。此外,随着CuO含量的增加,CuO-TiO<sub>2</sub>-ZrO<sub>2</sub>样品的 $\alpha$ 脱附峰的面积变化不大,但 $\beta$ 脱附峰的面积显著减小,表明CO<sub>2</sub>的吸附主要是靠载体即TiO<sub>2</sub>-ZrO<sub>2</sub>复合氧化物来完成的,而CuO本身只能吸附少量的CO<sub>2</sub>。该结果与Bando等<sup>33</sup>的结果相一致,他们在用红外光谱法研究CuO/TiO<sub>2</sub>、CuO/Al<sub>2</sub>O<sub>3</sub>和CuO/SiO<sub>2</sub>时也发现CO<sub>2</sub>的吸附主要发生在载体上。

不同CuO含量的CuO-TiO<sub>2</sub>-ZrO<sub>2</sub>样品经还原后的H<sub>2</sub>-TPD测定结果见图5。由图可见,所有样品均在50~500℃之间出现了两个H<sub>2</sub>脱附峰( $\alpha$ 和 $\beta$ ),且 $\beta$ 峰的面积明显大于 $\alpha$ 峰的面积。其中低温 $\alpha$ 峰对应的是铜物种吸附氢的脱附,而高温 $\beta$ 峰对应的是载体吸附氢的脱附。<sup>34,35</sup> Bianchi等<sup>36</sup>研究发现纯的ZrO<sub>2</sub>载体几乎不能吸附氢,但是Cu/ZrO<sub>2</sub>催化剂却能大量地吸附氢,认为这是因为氢可以从Cu溢流到载体ZrO<sub>2</sub>上。这种溢流现象即使在机械混合的Cu/ZnO催化体系中也会出现。<sup>37</sup>

由图5可见,随着CuO-TiO<sub>2</sub>-ZrO<sub>2</sub>样品中CuO含量的增加, $\alpha$ 峰的位置基本不变但峰面积不断减小; $\beta$ 峰的位置逐渐向低温方向移动,峰面积随着CuO含量的增加先增加后减少,当CuO含量为70%时,峰面积达到最大。

### 3.3 影响催化剂性能的因素

一般认为,CO<sub>2</sub>加氢直接制DME包括3个相互关联的反应过程,即甲醇合成、甲醇脱水和逆水煤气转换(RWGS)反应,其反应方程式如下:<sup>1</sup>

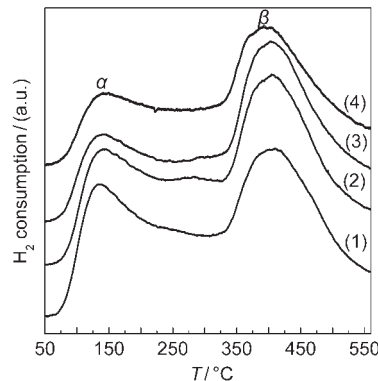
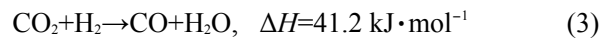
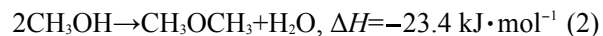
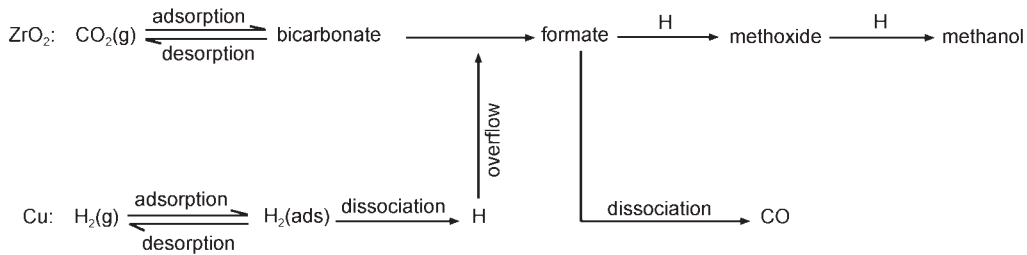


图5 不同CuO含量CuO-TiO<sub>2</sub>-ZrO<sub>2</sub>的H<sub>2</sub>-TPD谱  
Fig.5 H<sub>2</sub>-TPD profiles of the CuO-TiO<sub>2</sub>-ZrO<sub>2</sub> samples with different contents of CuO  
 $w_{\text{CuO}}/\%:$  (1) 50; (2) 60; (3) 70; (4) 80

图6 CO<sub>2</sub>加氢合成甲醇的反应机理示意图Fig.6 Scheme of the mechanism for methanol synthesis from CO<sub>2</sub> hydrogenation

其中, 甲醇合成(式1)和RWGS(式3)反应在Cu基催化剂上进行, 甲醇脱水反应(式2)在酸催化剂上进行。

由CuO-TiO<sub>2</sub>-ZrO<sub>2</sub>/HZSM-5双功能催化剂的催化性能测试结果(表1)可见, 所有样品的甲醇选择性基本相同, 表明在本文所采用的反应条件下, HZSM-5分子筛上所发生的甲醇脱水反应的速率显著快于CuO-TiO<sub>2</sub>-ZrO<sub>2</sub>上所发生的甲醇合成反应, 即双功能催化剂的性能主要由甲醇合成活性组分CuO-TiO<sub>2</sub>-ZrO<sub>2</sub>的催化性能所决定。<sup>20</sup>

将双功能催化剂的反应性能与CuO-TiO<sub>2</sub>-ZrO<sub>2</sub>的表征结果进行关联可以发现, 催化剂的活性(以CO<sub>2</sub>的转化率表示)与CuO-TiO<sub>2</sub>-ZrO<sub>2</sub>的比表面积之间并无对应关系, 而与CuO-TiO<sub>2</sub>-ZrO<sub>2</sub>中金属铜的比表面积( $S_{\text{Cu}}$ )有较好的对应关系, 不同CuO含量CuO-TiO<sub>2</sub>-ZrO<sub>2</sub>/HZSM-5催化剂的CO<sub>2</sub>转化率与CuO-TiO<sub>2</sub>-ZrO<sub>2</sub>的 $S_{\text{Cu}}$ 的大小顺序完全一致, 表明影响催化剂活性的是金属铜的表面积而不是催化剂的总比表面积。此外, 双功能催化剂的活性与CuO-TiO<sub>2</sub>-ZrO<sub>2</sub>的CO<sub>2</sub>的吸附性能之间无必然的联系, 但与H<sub>2</sub>的吸附性能(图5)之间存在较好的顺变关系。上述结果与Arena<sup>34</sup>和Fisher<sup>37</sup>等提出的CO<sub>2</sub>在Cu/ZrO<sub>2</sub>基催化剂上加氢反应的机理(图6)相一致, 即CO<sub>2</sub>在载体ZrO<sub>2</sub>上进行活化吸附, H<sub>2</sub>在Cu活性位上进行解离吸附, 然后溢流到载体上与活化吸附的CO<sub>2</sub>进行加氢反应生成甲酸盐, 甲酸盐可进一步加氢得到甲醇或直接分解得到CO。其中, 与CO<sub>2</sub>的活化吸附相比, CO<sub>2</sub>的加氢反应速率要慢得多, 即加氢反应是其中的决速步骤。

将不同CuO含量CuO-TiO<sub>2</sub>-ZrO<sub>2</sub>/HZSM-5双功能催化剂上产物选择性的变化情况与CuO-TiO<sub>2</sub>-ZrO<sub>2</sub>中CuO存在方式之间进行关联可以发现, 高度分散的CuO有利于CO的生成, 而晶相的CuO有利于甲醇(此处为甲醇+DME)的生成, 且随着CuO晶

粒的增大, 甲醇的选择性升高。该结果与Nitta等<sup>38,39</sup>在研究CuO-ZrO<sub>2</sub>和CuO-ZnO-ZrO<sub>2</sub>催化CO<sub>2</sub>加氢反应时所得到的结果相一致, 他们发现随着催化剂中Cu晶粒的增大, 甲醇的选择性升高而CO的选择性降低。另外, 对于CuO含量为70%和80%的两个催化剂, 虽然XRD和H<sub>2</sub>-TPR的测定结果均表明CuO含量为80%的CuO-TiO<sub>2</sub>-ZrO<sub>2</sub>中CuO的晶粒要显著大于CuO含量为70%的CuO-TiO<sub>2</sub>-ZrO<sub>2</sub>样品, 但其CO的选择性却相差很小, 我们认为除了Cu晶粒大小外, Cu与TiO<sub>2</sub>-ZrO<sub>2</sub>之间的相互作用也会对CO<sub>2</sub>加氢反应的选择性产生重要的影响, 即随着Cu晶粒的增大, 其与TiO<sub>2</sub>-ZrO<sub>2</sub>之间的相互作用减弱, 从而对CO<sub>2</sub>加氢合成甲醇的反应不利。Baiker及其合作者<sup>40</sup>在研究Cu/ZrO<sub>2</sub>催化剂时发现, 当Cu与ZrO<sub>2</sub>之间的作用较强、产生较多的Cu-Zr界面时, 催化剂具有较高的甲醇合成活性。

此外, 将不同CuO含量双功能催化剂上的CO选择性与CuO-TiO<sub>2</sub>-ZrO<sub>2</sub>的CO<sub>2</sub>-TPD表征结果进行关联可以发现, CO的选择性与样品的CO<sub>2</sub>吸附量之间存在较好的对应关系, 即CuO-TiO<sub>2</sub>-ZrO<sub>2</sub>的CO<sub>2</sub>吸附量越小, 其CO的选择性也越小。Nomura等<sup>41</sup>在研究Cu/TiO<sub>2</sub>催化CO<sub>2</sub>加氢反应时也发现, 在催化剂中添加酸性组分磷和硼虽然使CO<sub>2</sub>的吸附减弱, 但有利于Cu-甲酸盐中间产物加氢生成甲醇的反应, 从而使甲醇的选择性提高而CO的选择性降低, 这与本文的结果相一致。

## 4 结 论

CuO-TiO<sub>2</sub>-ZrO<sub>2</sub>/HZSM-5催化CO<sub>2</sub>加氢合成DME的反应性能主要由CuO-TiO<sub>2</sub>-ZrO<sub>2</sub>的性能决定并受CuO含量的影响很大, 当CuO含量为70%时, 催化剂的CO<sub>2</sub>转化率最高, 同时DME的选择性和产率也最大。其高的催化性能主要归因于大的金属铜的比表面积、合适大小的Cu晶粒、H<sub>2</sub>和CO<sub>2</sub>吸附性

能以及较强的Cu与TiO<sub>2</sub>-ZrO<sub>2</sub>之间的相互作用.

## References

- (1) Mao, D. S.; Wang, S.; Lu, G. Z. *Petrochem. Technol.* **2007**, *36*, 1172. [毛东森, 王嵩, 卢冠忠. 石油化工, **2007**, *36*, 1172.]
- (2) Jin, Z. L.; Qian, L.; Lü, G. X. *Prog. Chem.* **2010**, *22*, 1102. [靳治良, 钱玲, 吕功煊. 化学进展, **2010**, *22*, 1102.]
- (3) Naik, S. P.; Bui, V.; Ryu, T.; Miller, J. D.; Zmierczak, W. *Appl. Catal. A-Gen.* **2010**, *381*, 183.
- (4) Zhao, Y. Q.; Chen, J. X.; Zhang, J. Y. *Chem. React. Eng. Technol.* **2007**, *23*, 456. [赵彦巧, 陈吉祥, 张继炎. 化学反应工程与工艺, **2007**, *23*, 456.]
- (5) Zhao, Y. Q.; Chen, J. X.; Zhang, J. X.; Zhang, J. Y. *J. Fuel Chem. Technol.* **2005**, *33*, 334. [赵彦巧, 陈吉祥, 张建祥, 张继炎. 燃料化学学报, **2005**, *33*, 334.]
- (6) Arena, F.; Barbera, K.; Italiano, G.; Bonura, G.; Spadaro, L.; Frusteri, F. *J. Catal.* **2007**, *249*, 185.
- (7) Arena, F.; Italiano, G.; Barbera, K.; Bonura, G.; Spadaro, L.; Frusteri, F. *Catal. Today* **2009**, *143*, 80.
- (8) Liu, X. M.; Yan, Z. F.; Lu, G. Q. *Chin. Sci. Bull.* **2004**, *49*, 522. [刘欣梅, 阎子峰, 邱高清. 科学通报, **2004**, *49*, 522.]
- (9) Liu, X. M.; Lu, G. Q.; Yan, Z. F. *Appl. Catal. A-Gen.* **2005**, *279*, 241.
- (10) Zhao, Y. P.; Tian, J. Z.; Jing, T. *J. Qiqihar Univ.* **2006**, *22*, 1. [赵云鹏, 田景芝, 荆涛. 齐齐哈尔大学学报, **2006**, *22*, 1.]
- (11) Słoczyński, J.; Grabowski, R.; Olszewski, P.; Kozłowska, A.; Stoch, J.; Lachowska, M.; Skrzypek, J. *Appl. Catal. A-Gen.* **2006**, *310*, 127.
- (12) Guo, X. M.; Mao, D. S.; Wang, S.; Wu, G. S.; Lu, G. Z. *Catal. Commun.* **2009**, *10*, 1661.
- (13) Guo, X. M.; Mao, D. S.; Lu, G. Z.; Wang, S.; Wu, G. S. *J. Catal.* **2010**, *271*, 178.
- (14) Ge, Q. J.; Huang, Y. M.; Qiu, F. Y.; Zhang, C. W. *J. Nat. Gas Chem.* **1999**, *8*, 280.
- (15) Wang, J. Y.; Zeng, C. Y. *Petro. Process. Petrochem.* **2004**, *35*, 13. [王继元, 曾崇余. 石油炼制与化工, **2004**, *35*, 13.]
- (16) Arena, F.; Spadaro, L.; Di Blasi, O.; Bonura, G.; Frusteri, F. *Stud. Surf. Sci. Catal.* **2004**, *147*, 385.
- (17) Chen, G. M.; Wang, H.; Gao, W. G.; Zhang, J.; Wei, G. *Mater. Rev.* **2010**, *24*, 104. [陈高明, 王华, 高文桂, 张健, 魏刚. 材料导报, **2010**, *24*, 104.]
- (18) Mao, D. S.; Chen, Q. L.; Lu, G. Z. *Appl. Catal. A-Gen.* **2003**, *244*, 273.
- (19) Mao, D. S.; Lu, G. Z.; Chen, Q. L. *Chin. J. Catal.* **2004**, *24*, 501. [毛东森, 卢冠忠, 陈庆龄. 催化学报, **2004**, *24*, 501.]
- (20) Wang, S.; Mao, D. S.; Guo, X. M.; Lu, G. Z. *Catal. Commun.* **2009**, *10*, 1367.
- (21) Fujiwara, M.; Ando, H.; Tanaka, M.; Souma, Y. *Bull. Chem. Soc. Jpn.* **1994**, *67*, 546.
- (22) Sun, Q.; Zhang, Y. L.; Chen, Y.; Deng, J. F.; Wu, D.; Chen, S. Y. *J. Catal.* **1997**, *167*, 92.
- (23) Dubois, J. L.; Sayama, K.; Arakawa, H. *Chem. Lett.* **1992**, *21*, 1115.
- (24) Ge, Q. J.; Huang, Y. M.; Qiu, F. Y.; Li, S. B. *J. Mol. Catal. (China)* **1997**, *II*, 297. [葛庆杰, 黄友梅, 邱凤炎, 李树本. 分子催化, **1997**, *II*, 297.]
- (25) Li, Z. X.; Feng, Y. L.; Wang, R. J.; Zhang, J. Y.; Wang, Y. J.; Han, S. *Chin. J. Catal.* **1998**, *19*, 367 [李增喜, 冯玉龙, 王日杰, 张继炎, 王延吉, 韩森. 催化学报, **1998**, *19*, 367.]
- (26) Deng, S. Y.; Chu, W.; Xu, H. Y.; Shi, L. M.; Huang, L. H. *J. Nat. Gas Chem.* **2008**, *17*, 369.
- (27) Chary, K. V. R.; Sagar, G. V.; Naresh, D.; Seela, K. K.; Sridhar, B. *J. Phys. Chem. B* **2005**, *109*, 9437.
- (28) Ding, G. H.; Jiang, X. Y.; Wang, Y. J.; Zheng, X. M. *Chin. J. Inorg. Chem.* **2004**, *20*, 805. [丁光辉, 蒋晓原, 王月娟, 郑小明. 无机化学学报, **2004**, *20*, 805.]
- (29) Batyrev, E. D.; van den Heuvel, J. C.; Beckers, J.; Jansen, W. P. A.; Castricum, H. L. *J. Catal.* **2005**, *229*, 136.
- (30) Słoczyński, J.; Grabowski, R.; Kozłowska, A.; Olszewski, P. K.; Stoch, J. *Phys. Chem. Chem. Phys.* **2003**, *5*, 4631.
- (31) Yang, Z. Q.; Mao, D. S.; Guo, Q. S.; Gu, L. *Acta Phys.-Chim. Sin.* **2010**, *26*, 3278. [杨志强, 毛东森, 郭强胜, 顾蕾. 物理化学学报, **2010**, *26*, 3278.]
- (32) Yang, Z. Q.; Mao, D. S.; Wu, R. C.; Yu, J.; Wang, Q. *Acta Phys.-Chim. Sin.* **2011**, *27*, 1163. [杨志强, 毛东森, 吴仁春, 俞俊, 王倩. 物理化学学报, **2011**, *27*, 1163.]
- (33) Bando, K. K.; Sayama, K.; Kusama, H.; Okabe, K.; Arakawa, H. *Appl. Catal. A-Gen.* **1997**, *165*, 391.
- (34) Arena, F.; Italiano, G.; Barbera, K.; Bordiga, S.; Bonura, G.; Spadaro, L.; Frusteri, F. *Appl. Catal. A-Gen.* **2008**, *350*, 16.
- (35) Lin, M. G.; Yang, C.; Wu, G. S.; Wei, W.; Li, W. H.; Shan, Y. K.; Sun, Y. H.; He, M. Y. *Chin. J. Catal.* **2004**, *25*, 591. [林明桂, 杨成, 吴贵升, 魏伟, 李文怀, 单永奎, 孙罕宇, 何鸣元. 催化学报, **2004**, *25*, 591.]
- (36) Bianchi, D.; Gass, J. L.; Khalfallah, M. S.; Teichner, J. *Appl. Catal. A-Gen.* **1993**, *101*, 297.
- (37) Fisher, I. A.; Bell, A. T. *J. Catal.* **1997**, *172*, 222.
- (38) Nitta, Y.; Fujimatsu, T.; Okamoto, Y.; Imanaka, T. *Catal. Lett.* **1993**, *17*, 157.
- (39) Nitta, Y.; Suwata, O.; Ikeda, Y.; Okamoto, Y.; Imanaka, T. *Catal. Lett.* **1994**, *26*, 345.
- (40) Koeppel, R. A.; Baiker, A.; Wokaun, A. *Appl. Catal. A-Gen.* **1992**, *84*, 77.
- (41) Nomura, N.; Tagawa, T.; Goto, S. *React. Kinet. Catal. Lett.* **1998**, *63*, 21.